

#### **4. SOUTHERN BLOT DE LA FILAMINA C**

A la figura 11 veiem el resultat del *Southern Blot* per estudiar la regió no traduïda posterior a l'exó 48 de la Filamina C, que conté 11 repeticions de nucleòtids AC (veure Figura 12) . Per tal de poder esbrinar si existia una expansió de repeticions típica d'entitats neurodegeneratives com la Distròfia miotònica congènita i la oculofaríngea i en relació, en alguns casos, amb el fenomen de l'anticipació, podent afectar al processament, estabilitat i vida mitja de l'ARN, es va procedir a hibridar l'ADN genòmic en la regió 3' del gen de la Filamina C (al final del fragment 29 de PCR, després de l'exó 48) on es troba l'esmentada regió amb una sonda generada per PCR. Es mostren els resultats amb elsenzims de restricció *Nae I* i *Nco I* en el pacient 34 i en l'individu control 43. En el cas de l'enzim *Nae I* esperaríem una banda d'unes 1,7 Kb. No veiem aquesta banda ni a control ni a pacient, apareixent una banda comú però de tamany molt més gran. Probablement la digestió no es va produir correctament. La banda inferior lleugerament més petita que es veu al pacient podria ser una inespecificitat i en tot cas, si estiguéssim davant una expansió, el que hauríem de trobar a un individu afecte seria una banda diferencial de major tamany. En quant a l'enzim *Nco I* obtenim la banda del tamany esperat (1,9 Kb) tant a control com pacient. Així, tot i que un enzim no arribés a funcionar correctament, sembla que, a partir del resultat amb *Nco I*, podem dir que no sembla haver-hi una expansió en aquesta regió.

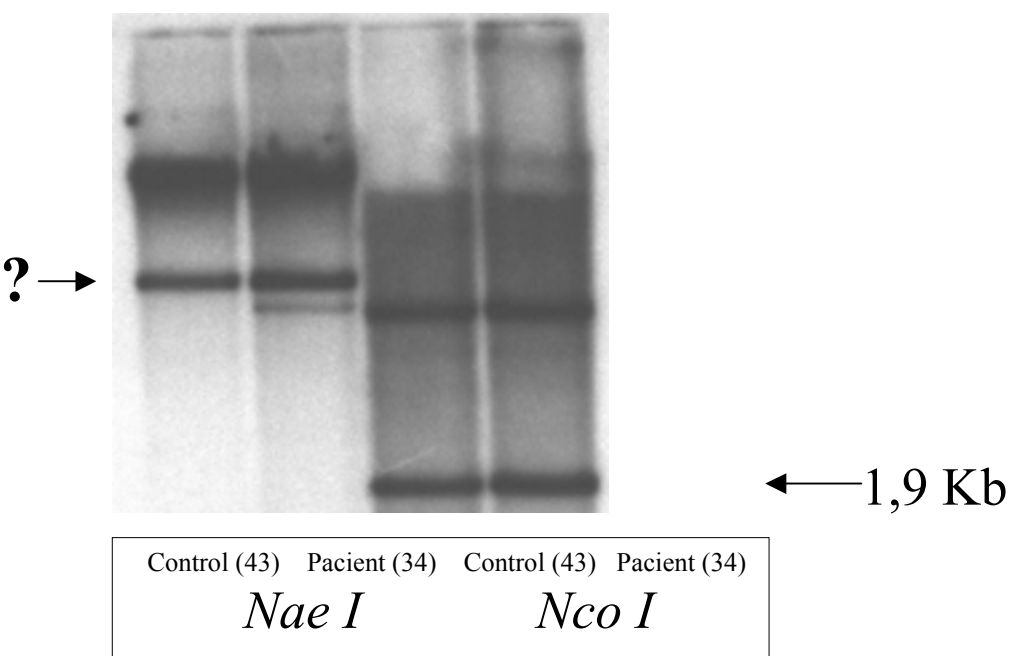


Figura 11: *Southern Blot* de la regió de repeticions AC posterior a l'exó 48 de la Filamina C.

27181 GCACTACCGg tgagtgcctg gagctgggga acagggtgac ttctgggggt gcttggccac  
 27241 **tagtctggtg** ctgctttgct ccagaggtag gggccctgct tcctaagcca ggagtcccc  
 27301 cagaggctgt ccaggagct ggggcccagt ccctcttgc cacaagccct tcctgcctc  
 27361 agccttgcata cctctggcc ccaagGTGTGT CATCAGAGTT CATCGTGAAC ACCCTGAATG  
 27421 CCGGCTCGGG GGCCTTGCT GTCACCATTT ATGGCCCCTC CAAGGTGCAG CTGGACTGTC  
 27481 GGGAGTGTCC TGAGGGCCAT GTGGTCACCTT ATACTCCCAT GGCCCTGGC AACTACCTCA  
 27541 TTGCCATCAA GTACGGTGGC CCCAGCACA TCGTGGCAG CCCCTCAAG GCCAAGGTCA  
 27601 CTGgtgagtgc ccagtttggg ggagggtccac ccagcctgca gcccagccca gcctggaggg  
 27661 ctccgggtggc cacgcacatc tagccatag tctgccccca gacatcatgg tcagtttacc  
 27721 agggttagag gtggggctgg ctctacacag tacacgttct gtggatcggt gcatgtcac  
 27781 gtaaaaatgc cattcttcct ctccatcgta gcccctcaact ccttcagctc tggctgcgc  
 27841 tggctctca ggctctagca ccactttctt ccctcctggc ttccatatt cctccgctcc  
 27901 aagaagacac agtcggatt gagcaagctt cccctcttaa ggctgtctgtt aggtatggatt  
 27961 ggggtgggtgt tcctttgtaa agtggctt accctgttag ttacgcttag gttccagaca  
 28021 aagcctgcata ggatggggga cgccgcatact gaggccccccg ccctagggtg gaggcaccgt  
 28081 tggagctggc agtcggggc cctggctggg aatgggggtg tgctcttaga gtggcccttg  
 28141 gaggaaatttg agggggagcc tcaaattgcag cgactgtggc ccacagggtg gcaatgttgg  
 28201 ccgggggtcc cctgcctggg gaagaacagg aagcccttct gactagggtt gtggcccttc  
 28261 caccaccccc tcagGTCCGA GGCTGTCCGG AGGCCACAGC CTTCACGAAA CATCCACGGT  
 28321 TCTGGTGGAG ACTGTGACCA AGTCCTCCTC AAGCCGGGC TCCAGCTACA GCTCCATCCC  
 28381 CAAGTTCTCC TCAGATGCCA GCAAGGTGGT GACTCGGGGC CCTGGGCTGT CCCAGGCCCTT  
 28441 CGTGGGCCAG AAGAACCTCCT TCACCGTGGA CTGCAGCAAA GCAGGGCAGgt ggcgggggg  
 28501 gggcgtctcc cgggggtgtg gcaagaagcc gtcaggagc aggggtgtggg tcacagttag  
 28561 gactccctgg tggcggctgg tccctctggc tccctcttca ggcACCAACA TGATGATGGT  
 28621 GGGCGTGCAC GGCCCCAAGA CCCCCCTGTGA GGAGGTGTAC GTGAAGCACA TGGGGAACCG  
 28681 GGTGTACAAT GTCACCTACA CTGTCAAGGA GAAAGGGGAC TACATCCTCA TTGTCAAGTG  
 28741 GGGTGACGAA AGTGTCCCTG GAAGCCCCCTT CAAAGTCAAG GTCCCTTGa tccccaaaagt  
 28801 gcctccccca cctcaggcccc cacccctccagc cacacacaca ttacacacac acacacacac  
 28861 **acacaaatgt** gccacaccca gacacgcaca gaatcgaca ctacaaacac ctgccttggg  
 28921 **ggtaagtga** **aggcccaagcc** tcccccccccc accgcgcggc aggggttggg ggaccttgc  
 28981 tgtgtcagac agtgtccctc cctggatgt gacatggggc cgactggggc caggctcagg  
 29041 ggcagaggct gggacacaag gggctggcga gggctgcag gcccaggaaag ccctgagtt  
 29101 ctggcggggc tgagcagtgg gggagcattt tggtgtgggt gtctgtgtt gaggtcaccc  
 29161 tcaaactgcac ccggccggca gataccctcc tgaccccgag gacttgttct ggtctctctg  
 29221 gtggctacaa ccccaggtt ttaaggactt ggaaaggaaa gcacaaatcg agaagaaaaac  
 29281 agccccccgaa ccagcaggag tggcctggca catggacccg cctgagcgt gtgcactcca  
 29341 cccaaaggag gctcccagg ggcctgatcc ctctctact gtctttttt taaaatgtt  
 29401 tgcacggctc tgccatgggg ggcctttttt acacactgcg aggcccagct ttcttagggac  
 29461 ttgcga

Figura 12: Seqüència l'ADN genòmic de la Filamina C (Nº d'accés a GenBank: AF252549). En lletres majúscules i subratllades es detallen les parts exòniques. En negreta apareixen els 2 encebadors utilitzats per produir la sonda utilitzada pel *Southern Blot* (F28F entre els exons 45 i 46 i T1R a la regió 3' UTR). En vermell es pot distingir la repetició ac.

## **5. NORTHERN BLOT DE LA FILAMINA C**

Es va valorar el nivell d'expressió de la Filamina C en individus afectes respecte dels sans, tot hibridant l'ARN total amb una sonda de cADN. Com a control de normalització es va hibridar el mateix filtre amb una sonda de ciclofilina A. L'assaig es va realitzar amb mostres dels individus del pedigree nºs 1 (IV-5), 29 (IV-1), 30 (IV-3) i 31 (V-1) i de 4 controls externs sans. En el moment d'obtenir les biòpsies es considerava que tots quatre individus de la família eren afectes, comprovant-se després d'exams clínics posteriors que només ho eren realment els individus 29 i 31, servint finalment els individus 1 i 30 com a controls interns. Tot i així, a la figura 13 es pot observar que no hi han diferències significatives d'expressió entre individus afectes i sans.

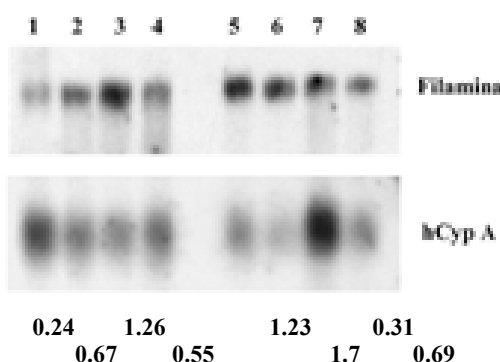


Figura 13 : *Northern Blot* de la Filamina C i de ciclofilina A com a control per normalitzar. Als carrers 1 a 4 es mostra el resultat de 4 individus controls sans externs i als carrers 5 a 8 el resultat de 4 individus del nostre pedigree (pacients 1, 30, 31 i 29). A la part inferior s'indiquen els valors relatius de densitometria.

## **6. ESTUDI D'UNA REGIÓ RICA EN G/C. COMPROVACIÓ DE LA PRESÈNCIA D'EXPANSIONS/REDUCCIONS**

Es va tractar d'esbrinar si podia existir un canvi en la seqüència nucleotídica codificant a partir d'una mutació tipus *splicing*, doncs tot observant la seqüència de l'ADN genòmic, hi han certes zones intròniques repetitives de G i C susceptibles de patir expansions o reduccions i que podrien afectar l' *splicing*. Un cop amplificat el cADN de la Filamina C en un individu control extern i en l'individu afecte nº 31 (V-1) entre els exons 21 i 24 (producte de 659 pb) es va trobar la banda esperada en tots dos i a més una banda extra més petita en l'individu afecte (veure Figura 14). Un cop retallades i clonades les bandes de l'individu control i les de l'individu afecte, aquestes es van seqüenciar i les bandes esperades de 659 pb van donar la seqüència normal però la banda més petita adicional que apareixia en l'individu afecte va resultar ser una inespecificitat, doncs al fer una analisi de *BLAST* la seqüència no tenia cap semblança amb la del fragment de la Filamina C amplificat. A la Figura 15 es mostra la seqüència genòmica de la Filamina C entre els exons 21 i 24, amb les regions intròniques riques en G/C.

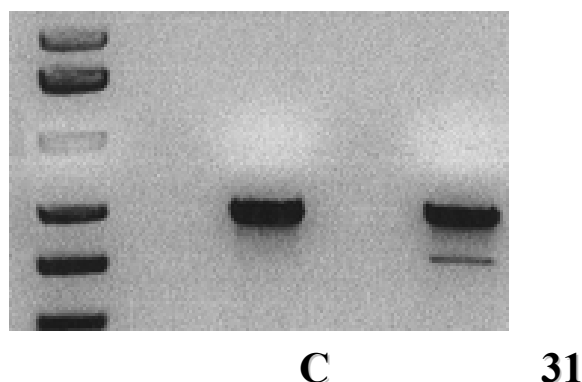


Figura 14: Amplificació del cADN de la Filamina C. El control C presenta la banda esperada de 659 pb i l'individu afecte 31 presenta aquesta banda i una més petita.

## Resultats

---

15301 CTGACCATTG AGATCCTGTC GGATGCCGGG GTCAAGGCCG **AGGTGCTGAT CCACAACAAAC** Exó 21  
 15361 CGGGATGGCA CCTACCACAT CACCTACAGC CCTGCCTTCC CTGGCACCTA CACCATTACC  
 15421 ATCAAGTATG GCGGGCATCC CGTGCCCCAA TTCCCCACCC GTGTCCTATGT GCAGCCTGCG  
 15481 GTCGATACCA GTGGCGTCAA GGTCTCAGGG CCTGGTGTG AGCCACACGg tgagtggaca  
 15541 ggaggagcca agaaaaggta aatggcagggt gcaggagctg ggttagtccgt gggagggagg  
 15601 gaagaagac tgagagctgg aagacaacc tgggtgaag ggagggctct cggagcagcc  
 15661 ccagactc tactggccca gaaaccccag agaaggagt gagggaaga ccgggggtgg  
 15721 agattggccct ctgccttgtt ggcacaaactg cacctgcctc tggcggttt tctggagaga  
 15781 tctcttcattt catgtgttta agggttaccc tgatccaaa agctaaaact ctgtctgaa  
 15841 cgggggcacg gggaaagctt tgggttagag gatgacaaga gtcagaagac agtaagtggg  
 15901 aatgggcat ctgccagggg ccagacccctg gctaggcatg gcccacggca gagggatgca  
 15961 agacccagggc ccacaggctg gtgggtgact caagtgaaca gagaatgtca ctacatggag  
 16021 aaggagtgta aggcaaggc tggagctcac agaggtgcag gggaggggtgg gggccaggc  
 16081 tccgattaga ggagcagccctt gggagtgggg gatgtggaga ggagggggag aggaggggtga  
 16141 gaggagggggg agaggaggggg aagaggagag ggagggaga gggaaaggag gggagggagga  
 16201 gaggagcat ctgtgtgaag gctggccccc cccctgtca acacggcacc cctggctcc  
 16261 agGTGTCTG CGGGAGGTGA **CCACTGAGTT CACTGTGGAT GCAAGATCCC TAACAGCCAC** Exó 22  
 16321 AGCGGCAAC CACGTGACGG CTCGTGTGCT CAACCCCTCG GGGGCCAAGA CAGACACCTA  
 16381 TGTGACAGAC AATGGGGACG GCACCTACCG AGTCAGTAC ACCGCCTACG AGGAGGgtga  
 16441 gggccgggtgg gccaggctag tggcaggggc tggcaagtg ggcaggggccg ggatctgtat  
 16501 atattggccctt cggggcagga ggggtgggtgg gggcgccacac tccctgtattt atggccctgt  
 16561 ggctggcttc cagCGTGCA TCTGGTGGAG GTCCTGTATG ATGAGGTGCG TGTGCCCAAG Exó 23  
 16621 AGCCCCTTCC GAGTGGCGT GACCGAGGGC TGTGATCCCA CCCCGTCCG AGCCTTCGGG  
 16681 CCAGGCCTGG AGGGTGGCTT GGTAAACAAG GCCAACCGAT TCACTGTGGA GACCAGgtat  
 16741 cctccccctt tgctaggcta aatctgtgac cacccttcc cagccccctgg cccctccctgc  
 16801 tcatccctct gcctggccct cagccccacc ccatcccttc tcaggggtga ggcaggagca  
 16861 gacccctcc accggccctt atggccctt gtagctcgat tccctctcgc tgggtccccca  
 16921 gcggccctgc ctctttctt cctgtttttt cattcgatc ctcctctatc ctcaactact  
 16981 ggttttatgta agctgtatggg gggatgttat ctctcaggGGG AGCAGGGCACC GGGGGCCTTG Exó 24  
 17041 GCCTAGCCAT CGAGGGTCCC TCGGAAGCCA AGATGTCTG CAAGGACAAC AAGGATGGTA  
 17101 GCTGCACCGT GGAGTACATC CCCTTCACTC **CTGGAGACTA TGACGTCAAC ATCACCTTCG**  
 17161 GGGGGCGGCC CATCCCAGgt gtgcagagag agtggtcggg gtctcaggga agacaaggga

Figura 15: Regió de la Filamina C rica en G/C estudiada per comprovar la presència d'errors d'*splicing*. En negreta es destaquen els encebadors per amplificar el cADN. En majúscules i subratllats apareixen els exons i en minúscules les regions intròniques amb diverses seqüències G/C repetitives.